

圧縮セン断時における粒状体の内部構造変化に関する考察

東北大学 学生員 ○永見 健二
東北大学 工学部 飛田 善雄

1. はじめに

砂の様な粒状体の変形、破壊挙動の機械的メカニズムについては、近年数々の実験、考察が試みられている。小西は初期異方性を有する粒状体の二次元圧縮試験を行い、粒子挙動の様子を写真に収めた。本文はその写真とともに、粒子間力を伝える粒子接点の分布を調べ、初期異方性の変形、破壊挙動に及ぼす影響について考察したものである。

2. 模型実験の概要及び調査内容

解析した実験は小西ら(1983)により行われた実験である。(詳細は文献(1)) 実験は橢円柱形の粒子を長軸が一定方向を向く様に堆積させながら比較的密に配列したものと圧縮セン断し、適時光弾性写真をとったものである。座標軸は最小主応力方向にx₁軸、最大主応力方向にx₂軸とする。堆積面の法線方向とx₂軸のなす角α(図-1)が0°, 30°, 60°, 90°の4つの場合について実験が行われた。以下、それぞれの供試体を0, 30, 60, 90で表わすことにする。図-1はこの4種の供試体の応力比E₂、ひずみE₂の関係である。これを見ると、強度は0が最も大きく以下30, 60, 90の順であり、必ずしもαが大きくなるにつれて低下し続けないことが興味深い。

解析 写真中、中央部の円領域について解析を行ない、接点角分布の確率密度関数E(θ)及び有効接点数Nを数え、次式に基づいてコンタクトテンソルを定義した。

$$C_{ij} = 2 \sum_{\alpha=1}^N E(\alpha) n_i n_j d\alpha \quad (1)$$

ここに、 $\sum_{\alpha=1}^N E(\alpha) d\alpha = 1$ 、n_iは接觸面の法線ベクトル、N = 18として10°間隔で求めた。(1)式で定義されるコンタクトテンソルより、その主値C_{max}, C_{min}および主方向が基準座標軸となす角θを求めた。

なる法線ベクトルを有する任意の面上に投影された接觸面積ベクトル(但し、θ>0について考える)をS^(θ)とするとその成分は

$$S_i^{(θ)} = \frac{1}{2} C_{ji} V_j \quad (2)$$

と表現できる。本研究では、載荷段階で最も応力比の高い最大傾度面上の接觸面積ベクトルの変化を調べた。又、この最大傾度面上の平均的接觸面積に作用する(実際の)応力比Σs/Σnは、

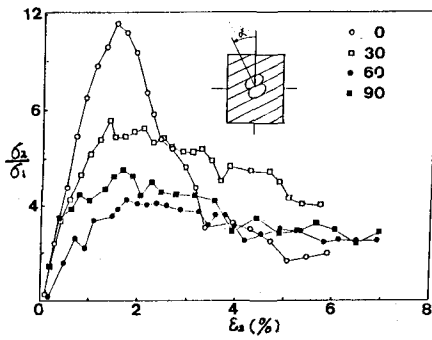


図-1. 主応力比と歪の関係

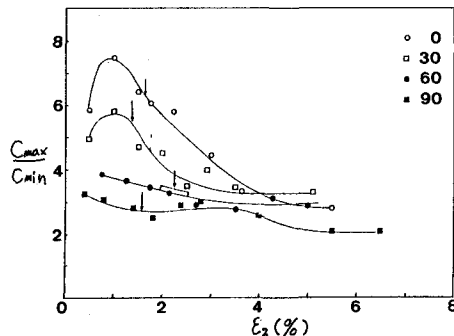


図-2. 接触面の異方性と歪の関係

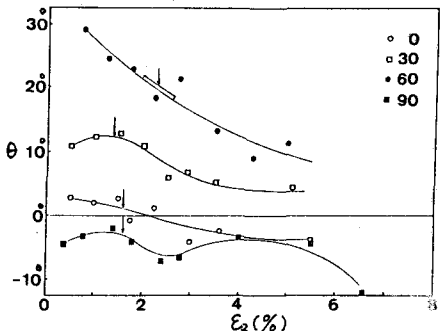


図-3. 接触面法線の主軸と主応力軸となす角と歪

$$\frac{\sum s}{\sum n} = \tan(\phi - \delta) \quad \text{ここで } \tan\phi = \frac{T}{\sigma_n}, \quad \delta = \cos^{-1} \frac{S_1 V_1 + S_2 V_2}{\sqrt{S_1^2 + S_2^2}} \quad (3)$$

で与えられるので、この応力比を“すべりやすさの指標”として用いた。この解析の中で、有効な接点の数は変形過程中増減するので、接触面積等の大きさに関しては次式のコニタクトテンソルにより求めた。

$$C_{ij}^* = \frac{N}{N_0} C_{ij} \quad N: \text{現在の有効接点数}, \quad N_0 = 300 \quad (4)$$

3. 結果と考察

図-2は各変形段階での接觸面の異方性を表わす。各供試体ともピークにいたるまで異方性は増し、ピーク以後異方性は減少する様である。強度の大きい0, 30は著しい構造変化を示し、強度の小さいものは構造変化が小さい様である。図3は加えられた応力の増加に伴って接觸面が最大主軸方向に近くなる現象をコニタクトテンソルの主軸と主応力軸のなす角θで表わしたものである。ピーク後その傾向はなくなる。図-4は最大强度面における接觸面積の増減を示す。90を除いて減少しており、その減少は強度が弱いほど大きい。接觸面積が大きいほど安定な構造であると考えれば、接觸面積の減少は破壊がおこりやすい状況をつくるものと思われる。また、初期状態でまちまちだった S_z/S_n も破壊後ひずみ軟化が進むにつれて限られた範囲の値に集まる様である。図-5, 図-6は S_z/S_n の増減の様子を示したものである。明らかに S_z/S_n はピークに向かうにしたがって増加しピーク以後減少している。また90を除いて強度が小さいほど S_z/S_n は大きく、すべり易い状態となっていく事が解る。しかし S_z/S_n は実験に用いた粒子の物理摩擦角θ=52°と比較すれば小さく、本研究で調査した接觸面の分布のみでは粒状体の変形破壊挙動を表現できない事が示唆される。

粒子形状が特定の軸方向をもたない場合（即ち円や球粒子の場合）、ピーク時までは接觸面が最大主応力方向を向くことにより異方性が増し、破壊に抵抗しようとする一方、粒子間に作用する平均応力比 S_z/S_n が増大することにより、すべり易い状態になる。この2つのメカニズムにおいてすべりのメカニズムが卓越したときに破壊が起こると考えられる。しかし、本研究で用いた様な構造形状の場合すべり運動に与える影響として粒子形状及びその長軸の堆積方向の影響の方が、接觸面の異方的分布の影響よりも大きいと考えられる。この事は最大主応力軸に関して等価な2つの最大强度面上の運動が、 S_z/S_n の値は相対的に低いにもかかわらず粒子の長軸とほぼ平行な最大强度面上に卓越している事より解る。

今後、粒子の形状の影響を取り入れた解析を行なう必要がある。

4. 謝辞 本研究は小田、小西、Nemat Nasserにより行われた実験結果に基づいて解析を行なったものである。資料を提供頂いた先生方に厚く御礼申し上げます。参考文献(1) 小西、小田、Nemat Nasser: INDUCED ANISOTROPY IN ASSEMBLIES OF OVAL CROSS-SECTONAL RODS IN BIAXIAL COMPRESSION

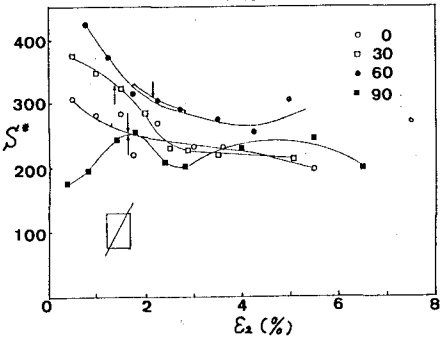


図-4 最大强度面の接觸面積と歪

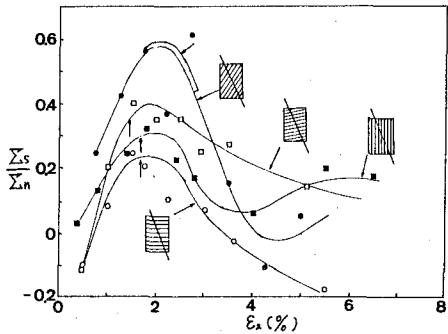


図-5 最大强度面の応力比と歪の関係

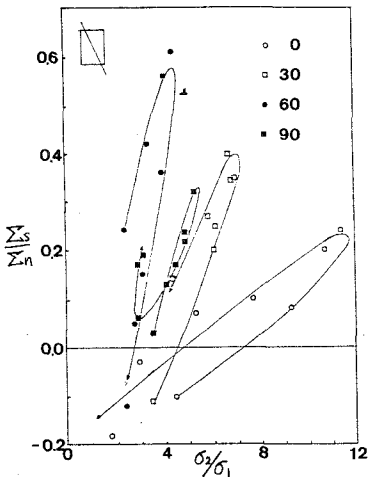


図-6 最大强度面の応力比と全体の応力比